

UNUSUALLY LARGE MAGNETOSPHERIC EFFECT IN COSMIC RAYS ON 20 NOVEMBER 2003

A. V. Belov¹, L. M. Baisultanova¹, E. A. Eroshenko¹, H. Mavromichalaki², V. V. Pchelkin³, V.G. Yanke¹

(1) *Institute of Terrestrial Magnetism, Ionosphere and Radio wave Propagation RAS*

(2) *Physical Faculty of the Athens University*

(3) *Polar Geophysical Institute.*

Abstract

Cosmic ray variations of the magnetosphere origination are selected from neutron monitor network data on 20 November 2003 by the global survey method (GSM). On this basis planetary distribution of the cut off rigidity variations over the period of geomagnetic storm was obtained. This event is distinguished by the record magnitude of magnetosphere cosmic ray variations and by their unusual latitudinal distribution with the maximum under geomagnetic cut off rigidity at 7-8 GV. Results obtained can be used both to correction cosmic ray variations for the geomagnetic effect and to make more precise modeling of the magnetosphere current system arising during the great magnetic storms.

Izvestia RAN, ser. Phys., 69, № 6, 857-860, 2005

НЕОБЫЧНО БОЛЬШОЙ МАГНИТОСФЕРНЫЙ ЭФФЕКТ В КОСМИЧЕСКИХ ЛУЧАХ 20 НОЯБРЯ 2003 Г.

А.В. Белов¹, Л.М. Байсултанова¹, Е.А. Ерошенко¹, Е. Мавромичалаки², В.В. Пчелкин³, В.Г. Янке¹

(1) *Институт земного магнетизма, ионосферы и распространения радиоволн РАН*

(2) *Физический факультет Афинского университета.*

(3) *Полярный геофизический институт.*

По данным мировой сети нейтронных мониторов методом глобальной съемки выделены вариации магнитосферного происхождения 20 ноября 2003. На их основе получено планетарное распределение изменений жесткостей геомагнитного обрезания во время магнитной бури. Данное событие отличает рекордная величина магнитосферных вариаций и их необычное широтное распределение с максимумом при жесткости геомагнитного обрезания 7-8 ГВ. Полученные результаты можно использовать как для коррекции данных нейтронных мониторов на магнитосферные эффекты, так и для уточнения моделей магнитосферных токовых систем, возникающих во время больших магнитных бурь.

Введение.

Возмущения магнитного поля Земли во время магнитных бурь могут приводить к существенному изменению траекторий заряженных частиц в магнитосфере, вплоть до того, что разрешенные траектории могут стать запрещенными и наоборот. Это имеет два главных следствия для наземных наблюдений: 1) изменяются эффективные пороги обрезания и 2) изменяются эффективные асимптотические направления прихода частиц и, следовательно, приемные коэффициенты для различных станций. Для солнечных

космических лучей одинаково важны оба следствия, для галактических космических лучей доминирует эффект, связанный с изменением жесткостей геомагнитного обрезания (R_c). Магнитосферный эффект, связанный с изменением жесткостей обрезания, может быть достаточно велик, чтобы существенно искажить вариации космических лучей (КЛ), наблюдаемые на данной станции, или даже полностью изменить их характер. Примером может служить магнитосферный эффект во время магнитной бури 20 ноября 2003 года (рис. 1).

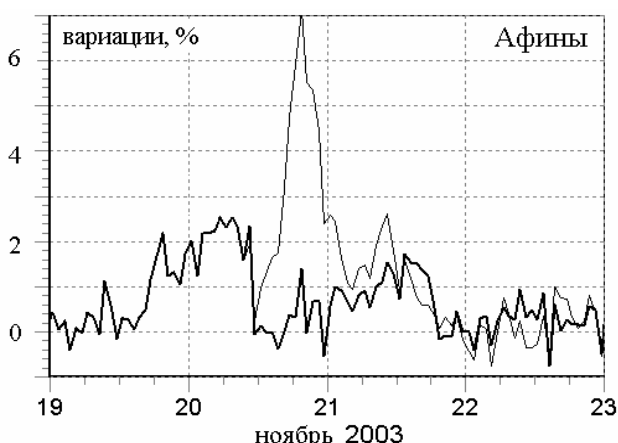


Рис. 1. Неисправленные (тонкая кривая) и исправленные на магнитосферный эффект вариации КЛ.

эффекты, как правило, наблюдаются одновременно с большими модуляционными эффектами КЛ, поскольку и те, и другие имеют общие причины.

Вариации КЛ, связанные с изменениями R_c во время больших магнитных бурь, исследовались в ряде работ [1-9]. Их анализ дает независимую возможность для проверки моделей токовых систем во всех фазах развития магнитной бури. В начальной фазе магнитной бури, обычно связанной с токовыми системами в магнитопаузе, R_c увеличивается по сравнению со спокойным уровнем, тогда как во время главной фазы магнитной бури R_c значительно уменьшается. При этом различным образом проявляются широтные и долготные зависимости этих эффектов [7]. В данной работе мы исследуем магнитосферные эффекты космических лучей во время исключительно большой магнитной бури 20 ноября 2003 года.

Данные и метод анализа.

Использовались среднечасовые данные 39 нейтронных мониторов мировой сети станций космических лучей, из которых 15 станций были высокоширотными с $R_c < 1.2$ ГВ, 22 – среднеширотными и 2 низкоширотными ($R_c > 10$ ГВ). Задача решалась разработанным нами ранее вариантом [5,7] метода глобальной съемки [10]. Решение системы спектрографических уравнений, описывающих наблюдаемые на каждой станции вариации КЛ, позволяет выделить изотропные и анизотропные вариации. Остающуюся невязку можно отнести к магнитосферным вариациям.

Результаты анализа и их обсуждение.

Есть несколько причин особого интереса к магнитосферным вариациям. Во-первых, эти эффекты интересны с физической точки зрения – с точки зрения образования, развития и распада магнитосферных токовых систем, с точки зрения глобального взаимодействия космического излучения с геомагнитным полем. Во-вторых, магнитосферные эффекты важны с методической точки зрения, поскольку они мешают изучать внеземные вариации космических лучей и, по возможности, должны быть удалены из экспериментальных данных. Большие магнитосферные

Несмотря на исключительно большую магнитную бурю, Форбуш понижение было умеренным по величине. Вариации плотности КЛ имели сравнительно жесткий энергетический спектр. Магнитосферный эффект оказался наибольшим на относительно низкоширотных станциях, а не на среднеширотных, как это чаще всего наблюдается. Он был столь значителен по амплитуде, что Форбуш-понижение на некоторых станциях полностью маскируется магнитосферным эффектом. Это видно из рис. 1, на котором приведены неисправленные и исправленные на магнитосферные

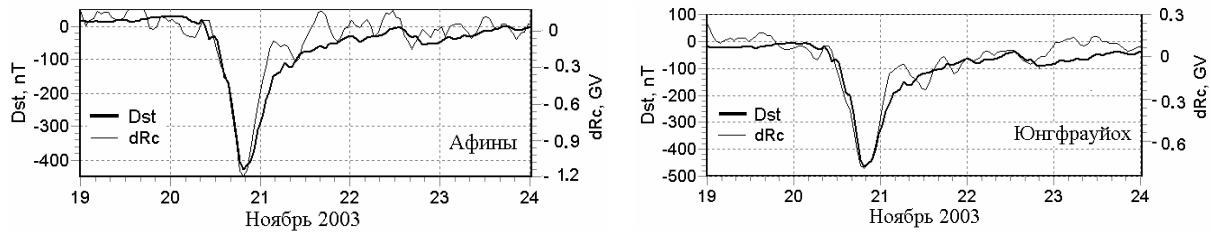


Рис. 2. Сравнение найденных изменений жесткостей геомагнитного обрезания dRc и Dst - индекса для двух станций во время магнитной бури 20 ноября 2003 года.

эффекты вариации КЛ для станции Афины. Результатом проведенного спектрографического анализа изменение Rc для различных моментов времени для каждой станции мировой сети. Для станций Афины и Юнгфраугох результат представлен на рис 2, на котором проводится также сравнение поведения найденных dRc и Dst . Это не аппроксимация, а визуальное совмещение масштабов. Видна очень хорошая корреляция для всего представленного периода. Обычно станция Юнгфраугох в 2 раза более чувствительна к геомагнитным эффектам, чем станция Афины, в данном же случае на станции Афины геомагнитный эффект вдвое больше. Как будет видно ниже, это связано с особенностью бури 20 ноября 2003 года, а именно с пространственным расположением токовой системы. На рис.3 этот же результат представлен в виде корреляционной зависимости. Видно, что при самых больших геомагнитных возмущениях ($Dst > 50$ нТЛ) наблюдается приблизительно линейная связь dRc и Dst .

Для каждого момента времени с момента прихода ударной волны на Землю и до

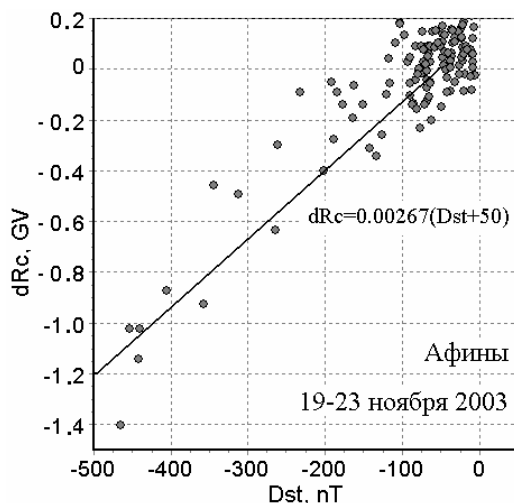


Рис. 3. Корреляция между изменением геомагнитного порога dRc и Dst .

завершения фазы восстановления магнитосферы были построены широтные зависимости изменений Rc . Широтная зависимость для максимума развития магнитной бури дана на рис. 4. Приведены статистические погрешности, полученные при решении системы уравнений. О величине погрешности результатов можно судить и по разбросу экспериментальных точек на широтной кривой. Особенность данного события в том, что максимальный магнитосферный эффект, а соответственно и максимум в широтном распределении изменений Rc , наблюдается не на среднеширотных (3-4 ГВ), а на более низкоширотных станциях космических лучей (7-8 ГВ). Из этого в рамках простейшей модели [11] кольцевого тока,

распределенного по оболочке пропорционально косинусу широты и текущего в западном направлении, следует, что ток в данном случае максимально приближен к

Земле и находится примерно на расстоянии 3-х радиусов от ее центра, против обычных 5-ти радиусов Земли.

На рис.4 сравниваются экспериментальные и расчетные значения изменений R_c для момента максимума эффекта в 19.30 UT. Расчет проводился с использованием

последней "буревой" модели магнитосферного магнитного поля [12] по методике, описанной в [13]. Расчет траекторий выполнялся от главного конуса к штормеровскому, с суммированием всех разрешенных интервалов (т.е. для плоского спектра КЛ). Сетка расчёта - 0.002 ГВ. Длительность расчёта траекторий квазизахваченных частиц выбиралась из условия близости к асимптотическому значению. Тестирование проводилось в достаточно спокойный период для 6:30 UT 20 ноября. Для этой точки классический пакет T89 и новый

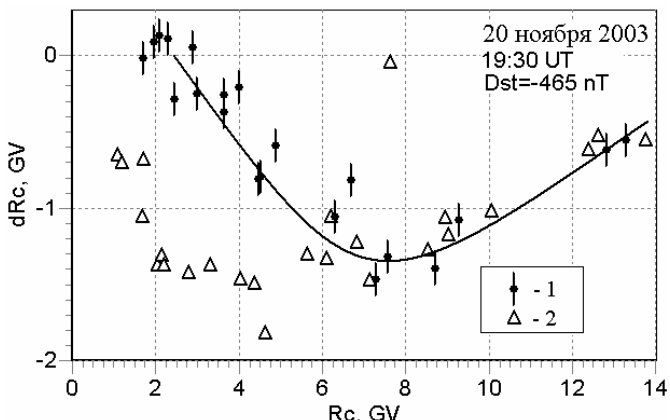


Рис. 4. Широтная зависимость изменений R_c в максимуме развития магнитной бури.

1 - найдено экспериментально,
2 - вычислено на основе модели [12].

T01s дают очень близкие значения. Относительно этого момента и определялись изменения ЖГО. Экспериментальные точки несколько смещены по R_c , поскольку они определялись для модели главного магнитного поля IGRF-1990. Видно, что при жесткости > 6 ГВ наблюдается очень хорошее согласие экспериментальных и расчетных значений, причем без какой-либо нормировки. Расхождение при меньших жесткостях может быть обусловлено неадекватностью модели для таких больших возмущений в магнитосфере. В защиту применяемой методики, заметим, что, выполняя такой же анализ для других магнитных бурь [7], мы получили классический широтный ход изменений R_c с максимумом в области 3-4 ГВ.

Обращает внимание "выпадение" станции Мехико из общего хода расчетных значений изменений R_c . Для этой станции ширина пенумбры резко уменьшается. В то время как значение главного конуса понижается очень существенно, значение штормеровского конуса (и, соответственно, эффективная жесткость) сильно приближается к главному. Такая ситуация наблюдается только для больших бурь. Кстати, этот эффект (скачкообразное изменение ширины пенумбры) наблюдается и на других станциях, хотя и в меньшей степени.

Основные выводы.

1) Во время главной фазы магнитной бури 20 ноября 2003 года наблюдался исключительно большой магнитосферный эффект. Особенность данного события в том, что максимальный магнитосферный эффект наблюдается не на среднеширотных (3-4 ГВ), как обычно, а на низкоширотных станциях (7-8 ГВ) космических лучей.

2) Проведенный расчет значений изменений R_c для последней "буревой" модели магнитосферного магнитного поля [12] показал, что для жесткостей > 6 ГВ наблюдается очень хорошее согласие между экспериментальными и расчетными данными. Расхождение при меньших жесткостях может быть обусловлено неадекватностью модели для самых больших магнитосферных возмущений.

3) Дальнейшее развитие и расширенный вариант данной работы с анализом других событий можно найти по адресу <http://cr0.izmiran.rssi.ru/GeoMagCR/main.htm>.

Эта работа и работа российской сети станций космических лучей частично поддержана РФФИ (гранты 04-02-16763, 03-07-90389), ГК 10002-251/П-06/048-051/200404-046, американо-канадские станции фондом NSF USA (грант ATM-0000315). Авторы благодарны сотрудникам всех станций, на данных которых базируется наша работа: Alma-AtaB, Apatity, Athens, Baksan, Barentsburg, Beijing, Calgary, Cape Shmidt, Climax и Haleakala (Университет Чикаго, NSF гранты ATM-9613963, ATM-942-0790), Erevan, ESOI, Fort Smith, Hermanus, Inuvik, Irkutsk, Jungfraujoch, Kergelen, Kiel, Kingston, Larc, Lomnický Stit, McMurdo, Magadan, Mawson, Mexico, Moscow, Nain, Norilsk, Novosibirsk, Newark, Oulu, Potchefstrom, Peawanuck, Tbilisi, Terra Adelia, Tibet, Tixie bay, Rome (UNIRoma-Tre and IFSI-CNR Collaboration), Sanae, South Pole, Thule, Tsumeb, Yakutsk.

Список литературы

1. *Debrunner H., Flueckiger E., Mandach H., Arens M.* // Planetary and Space Science. 1979. V. **27**. P. 577.
2. *Flueckiger E. O., Smart D. F., Shea M.A.* // Proc. 17th ICRC. Paris. 1981. V. **4**. p. 244.
3. *Flückiger E., Smart D., Shea M.* // Proc. 20-th ICRC. Moscow. 1987. V. **4**. 216.
4. *Dvornicov V., Sdobnov V., Sergeev A.* // Proc. 20-th ICRC. Moscow. 1987. v. **4**, 220.
5. *Baisultanova L., Belov A., Dorman L., Yanke V.* // Proc. 20-th ICRC. 1987. V. **4**. 231.
6. Дворников В.М., Сдобнов В.Е. // Изв. РАН. Сер. физ. 1988. Т. **55**(10). р. 1991.
7. *Baisultanova L., Belov A., Yanke V.* // 1995. Proc 24-th ICRC. Roma. v. **4**. 1090.
8. Сдобнов В.Е., Дворников В.М., Луковникова А.А., Осипова Н.А. // Солнечно-земная физика, 2002. вып. 2. р. 230.
9. *Dvornikov V., Sdobnov V.* // Intern. JGA. 2002. V. **3**. No. 3. P. 1-11. February 2002.
10. Крымский Г.Ф., Кузьмин А.И., Чирков Н.Р. и др. // Геомагн. и Аэрон.. 1966. **6**. 991.
11. *Treiman S.B.* // Phys. Rev.. 1953. V. 89(1). P. 130.
12. *Tsyganenko N.A., Singer H.J., Kasper J.C.* // J. Geophys. Res.. 2003. V. **108(A5)**. 1209. doi:10.1029/2002JA009808.
13. Пчелкин В.В., Ващенюк Э.В. // Изв. РАН. Сер. физ. 2001. Т. 65. № 3. С. 416.